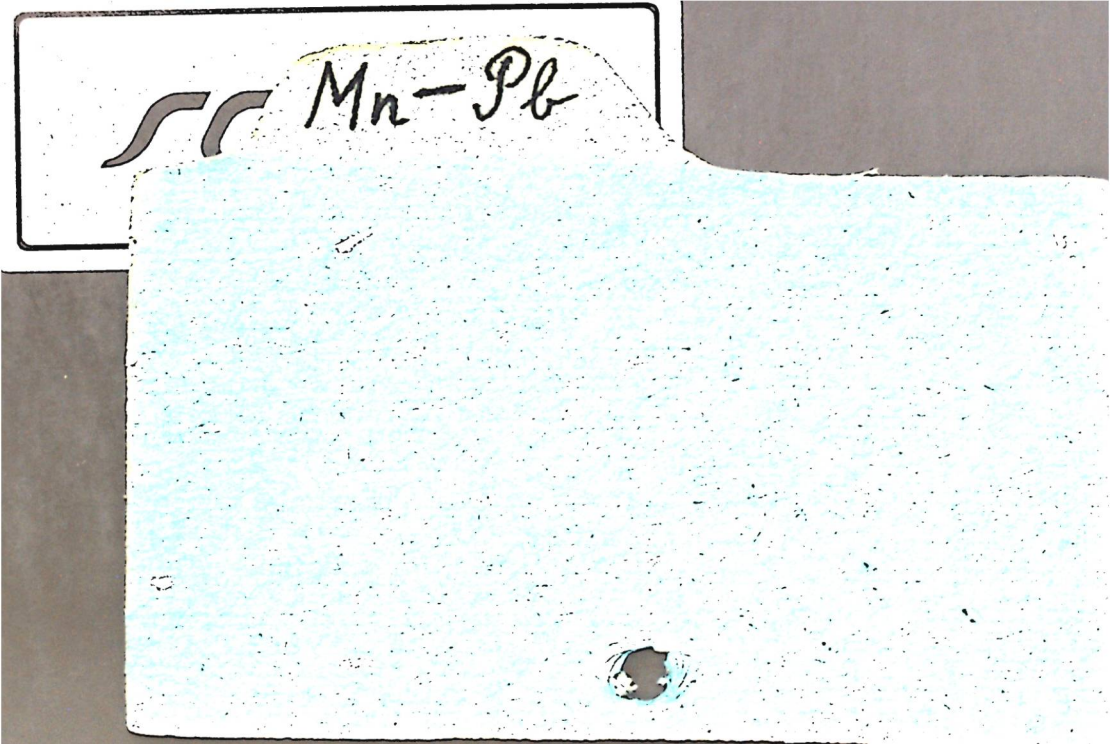


rr Mn-Pb



V 852

MnJ₂.PbJ₂ 1897
MnJ₂.PbJ₂.3H₂O

Mosnier

Ann. chim. phys., 1897, 12, 374

ZnJ ₂ , aq)	2NiJ.PbJ ₂)	
))		
2ZnJ ₂ .PbJ ₂)	Δlf)	2NiJ.PbJ ₂ .3H ₂ O
2CdJ ₂ .PbJ ₂))	COJ ₂ , FeJ ₂
2FeJ ₂ .PbJ ₂))	

W, M

^{MnJ}
ЕСТЬ Ф. К.
О.И.Н./О.И.

F

MnJ₂•PbJ₂, MnJ₂•PbJ₂•3H₂O, CrJ₂, 2CrJ₂•

•PbJ₂, 2CrJ₂•PbJ₂•3H₂O (Δ Hf)

BP VII 2713 1953

$(\text{MnO}_4)_2\text{Pb}_2 \text{MnO}_4^-$ (Kp)

BP - VI - 1900

$\text{Pb}(\text{MnO}_4)_2 \cdot 3\text{PbO} / \text{P}$

Charleton B.

C. R. Acad. Sci., 1953, 237, 606-607

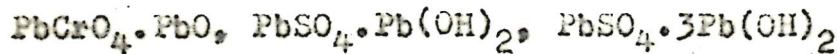
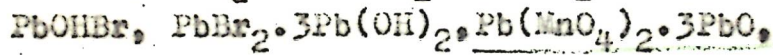
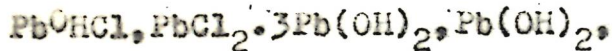
e/90072 9. 5.

9/5

~~4710~~

VII 8969

~~1956~~
1956



(Trp)

Charreton B.

Bull. Soc. chim. France, 1956, N 2,
323-352

Contribution à...

W, M



VII - 4981

1956

Pb₂(Cl₂O₄)_{0,5} OH_{1,5} (P-P, H₂O) (K_P)

Charzeton B.,

Bull. Soc. chim. France, 1956,

323, 347



B

PB KMnF₃ Montgomery H. [1966]

Suomalais. tiedeakat.
toimituks. Sar. HVI, n° 210,
214 - 217.

cp

Fineosienkosans KMnF₃ u
PB KMnF₃ (c.u. KMnF₃) I

1868
2: ($KMnF_3(y)$, $PbMnF_3(y)$)
 $MnF_2(x)$)
Pergamon J.
VII 221

Austral. J. Chem., 1968, 21, 321-321/see.

Electronic absorption spectra of
 $KMnF_3$, $PbMnF_3$ and MnF_2 .

Perkin, 1968, 235733
10

Pb_{1-x}Mn_xTe

1970

[92039c] Lead telluride-manganese telluride system. Vanyarkho, V. G.; Zlomanov, V. P.; Novoselova, A. V. (Khim. Fak., Mosk. Gos. Univ. im. Lomonosova, Moscow, USSR). Izv. Akad. Nauk SSSR, Neorg. Mater. 1970, 6(8), 1534-5 (Russ). DTA, x-ray diffraction, and microstructural anal. methods were used to study the PbTe-MnTe system. The annealing of cast and sintered samples was at 620° for 1 month. Some samples were annealed at 720 and 875° for 450 and 300 hr, resp. The samples were quenched in air. The polythermal PbTe-MnTe section of the 3-component Pn-Mn-Te system is shown. Below 650° the PbTe-MnTe section is quasi-binary. At higher temps. this section becomes nonquasi-binary, which is assocd. with the incongruent melting of MnTe and the presence of a homogeneity region of MnTe. Four regions of PbTe solid.

C.A. 1970. 73:18

solns. in MnTe phases exist. The transition boundary between the solid solns. of PbTe in δ -, γ -, β -, and α -MnTe could be detd. only for the $\gamma \rightarrow \beta$ transition. The eutectic transformation temps. for the δ -, γ -, and β -phases are 875, 800, and 650°, resp. The crystn. of the MnTe solid soln. in PbTe is completed at a eutectic temp. of 900°. A compn. contg. 30 mole % MnTe is close to the eutectic alloy compn. It was not possible to det. the liquidus line from the side of MnTe, inasmuch as these alloys react with the pyrometric container materials. At 620° ~10 mole % MnTe is dissolved in PbTe. The solv. of PbTe in MnTe at 720° is <5 mole %. With increasing homogenization temp. (720°) the solv. of MnTe in PbTe increases to 12 mole %. The region of the $Pb_{1-x}Mn_xTe$ solid soln. at the eutectic temp. ~~extends to~~ 20 mole % MnTe.

S. A. Mersol

PbMn₂O₄

1972

81249c Magnetic properties of lead magnanate single crystal.
Al'shin, B. I.; Zorin, R. V.; Drobyshev, L. A.; Stepanishchev,
S. V. (USSR). *Kristallografiya* 1972, 17(3), 562-5 (Russ). The
magnetic and elec. properties of PbMn₂O₄ single crystals were
investigated. The crystals were grown from PbMn_{2/3}W_{1/3}O₃
soln. in a PbO-PbF₂ melt. PbMn_{2/3}W_{1/3}O₃ had a perovskite
structure and was presynthesized. PbMn₂O₄ has a hexagonal
structure with lattice constants for *a* and *c*, 10.01 and 13.58 Å
resp. The Faraday rotation of the crystals was studied at 1.5-
300°K. There is a transition point to a weak ferromagnetic
state at 63°K. Anomalous hysteresis loops and dielec. proper-
ties were obsd. during the magnetic reversal process. The de-
pendence of the dielec. permeability anisotropy and crit. elec.
field on temp. was studied.

(Tet)

C.A. 1972. 44. 12

Mn_xPb

1972

(Cp)

53036n Specific heat of lead-manganese system alloys studied by a uniform heating method. Mekhrabov, A. O. (Azerb. Politekh. Inst. im. Il'dryma, Baku, USSR). *Fiz. Metal. Metalloved.* 1972, 33(4), 870-2 (Russ). Mn-Pb alloys contg. 0.25, 0.52, 0.76, 0.98, 2.01, 3.07, 3.98, 5.05, 7.45, 10.08, and 13.02% Mn were prep'd. from tech.-pure Pb and electrolytic Mn (99.99%) by melting in crucibles under a layer of molten borax at 1250-

1972. 77. 3.

1350°. The heat capacity, C_p , of cylindrical specimens was detd. in a dynamic calorimeter during uniform heating and the found results plotted in the form of C_p vs. T curves. The temp. dependence of C_p is characterized by an anomaly at 145° obsd. both with tech.-pure Pb and its alloys with Mn. Electron-diffraction anal. of tech.-pure Pb shows that no polymorphous transformation occurs in Pb over this temp. range. On increasing the Pb purity the anomalous peak disappears progressively and the $C_p(T)$ relation becomes quasi-linear. It seems that this anomaly might be attributed to the presence of low-melting elements (Sb, Bi, and Sn) in Pb which can form eutectics with the latter. The addn. of very small amts. of Mn (0.25-0.52%) lowers C_p abruptly due to the formation of a solid soln. based on Pb. At higher Mn concns. C_p increases. The exptl. data fit rather well the additivity law: $C_p(T) = [C_{p1}(T) - C_{p2}(T)]W + C_{p2}(T)$, where $C_{p1}(T)$ and $C_{p2}(T)$ are the heat capacity of Mn and the alloy, resp., and W the concn. of Mn in Pb. D. Jovanovic

$3\text{PbO} \cdot 2\text{Mn}_2\text{O}_3 \cdot 2\text{MnO}_2$

1977

$6\text{PbO} \cdot 4\text{MnO}_2 \cdot \text{Mn}_2\text{O}_3$

87: 123438e | Phase diagram of the lead(II) oxide-manganese(III) oxide system and study of lead manganese oxide ($\text{Pb}_3\text{Mn}_6\text{O}_{13}$) single crystals. Bush, A. A.; Titov, A. V.; Al'shin, B. I.; Venetsev, Yu. N. (USSR). *Zh. Neorg. Khim.* 1977, 22(8), 2238-44 (Russ). The PbO - Mn_2O_3 system was studied in air at 20 - 1200° by thermogravimetric and x-ray phase anal. The PbO - Mn_2O_3 system is a subsystem of the PbO - Mn_2O_3 - O_2 system. The new compds. $3\text{PbO} \cdot 2\text{Mn}_2\text{O}_3 \cdot 2\text{MnO}_2$ and $6\text{PbO} \cdot 4\text{MnO}_2 \cdot \text{Mn}_2\text{O}_3$ incongruently m. 1010 ± 10 and $830 \pm 10^\circ$, resp. Lattice parameters of hexagonal $\text{Pb}_3\text{Mn}_6\text{O}_{13}$ are $a = 10.012 \pm 0.006$, $c = 13.589 \pm 0.006$ Å. Magnetic and dielec. properties of $\text{Pb}_3\text{Mn}_6\text{O}_{13}$ were detd.

(Tm)

C. O. 1977, 87 N 16

B93-XVII-2412

PbMn₆O₁₃

1977

Busch A. H. et al

(T_{tr})

В сб. Чемберсона Менеджернаг.
сопр. по серийно-исследовательской
МКС-4. Академия, 1977г.

Изисл. "Н. „Хайка," 1974, 120,
авт.



ав. Pb₄SiO₆-I

Pb₃Mn₆O₁₉ ВР-XVII-2412 1974

Д 22 Е890. Диаграмма состояний системы PbO—Mn₂O₃ и изучение монокристаллов Pb₃Mn₆O₁₉. Буш А. А., Титов А. В., Альшин Б. И., Веневцев Ю. Н. «Ж. неорг. химии», 1977, 22, № 8, 2238—2244

Методами ДТА, термогравиметрич. и рентгенофазового анализов изучена система PbO—Mn₂O₃, являющаяся сечением тройной системы PbO—Mn₂O₃—O₂. Найдено два соединения — Pb₃Mn₆O₁₉, инконгруэнтно плавящееся при $1010 \pm 10^\circ$, и Pb₂Mn₅O₇, разлагающееся при $830 \pm 10^\circ$. Монокристаллы Pb₃Mn₆O₁₉ кристаллизуются в гексагон. сингочим и обладают $a = 10,012 \pm 0,006$ Å и $c = 13,589 \pm 0,006$ Å. При $69 \pm 1^\circ$ К наблюдается магнитный переход, а при $53 \pm 2^\circ$ К исчезает магнитный гистерезис в монокристаллах Pb₃Mn₆O₁₉. При 240° К найден фазовый переход, имеющий антисегнетоэлектрич. характер. Отмечено, что Pb₃Mn₆O₁₉ является сегнетомагнетиком, сочетающим слабые ферромагнитные св-ва с антисегнетоэлектрическими.

Б. Г. Кахан

(T_m)
(T_{tr})

Х. 1974 № 22

$Pb_{0,25}MnO_2$

Om. 20635

10-3

4 Б716. Двойные оксиды свинца и марганца. Latourette Bergstrand, Devalette Michel, Guillen François, Fouassier Claude. Les oxydes doubles de plomb et de manganisé. «Mater. Res. Bull.», 1978, 13, № 6, 567-574 (франц.; рез. англ.)

Нагреванием оксидов свинца и марганца получены двойные оксиды след. состава $Pb_{0,25}MnO_2$ (I), $Pb_{0,25}MnO_{2-x}$ ($x \approx 0,01$) (II), $Pb_{0,43}MnO_{2,18}$ (III), $Pb_{0,43}MnO_{2,14}$ ($Pb_3Mn_7O_{15}$) (IV) и Pb_2MnO_4 (V). Представлена фазовая диаграмма системы Mn—Pb—O в интервале $\sim 730\text{--}900^\circ$, соотношениях Pb/Pb+Mn от 0 до 1 и давл. кислорода 1 атм. Полученные образцы исследованы рентгенографич. методом. Изучены их каталитич., магнитные св-ва и электропроводность. Кристаллографич. характеристики IV: гексагон., a 9,98, c 13,55 Å. Приведены межплоскостные расстояния для фаз I, II и III. Параметры решетки V a $12,77 \pm 0,05$; c $5,13 \pm 0,03$ Å, ρ (изм.) 8,25, ρ (выч.) 8,45 г/см³, точечная

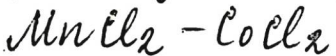
наращивание
реакции

2.1979, № 4

группа $P\bar{4}2_1C$. Фазы I—V более устойчивы к к-там, чем перовскитные фазы $Ln_{1-x}PbMnO_3$ (где $Ln=РЗЭ$). Они обладают каталитич. активностью в окисл.-восст. р-циях, причем активность IV наибольшая. Все фазы обладают полупроводниковыми св-вами. Приведена зависимость магнитной восприимчивости фаз I—V от т-ры, к-рая $>300^\circ$ подчиняется закону Кюри—Вейсса. Приведены константы Кюри, 2,42; 2,45; 2,10 и 1,76 соотв., и т-ры Кюри $\theta_p^\circ K$ (константы Вейсса), равные —310, —280, —20 и —12 соответственно. Л. Г. Титов

ли

1979



V93: 138199y Study of vapor pressure and activities of components of melts of manganese(II) chloride-lead(II) chloride and manganese(II) chloride-cobalt(II) chloride systems. Pochinok, T. B.; Burylev, B. P. (USSR). *Fiz. Khim. Elektrokhim. Rasplavl. Tverd. Elektrolitov, Tezisy Dokl. Vses. Konf. Fiz. Khim. Ionnykh Rasplavov Tverd. Elektrolitov, 7th 1979, 1, 101-3* (Russ). Akad. Nauk SSSR, Ural. Nauchn. Tsentr: Sverdlovsk, USSR. The vapor pressure, P , of molten $\text{MnCl}_2-\text{PbCl}_2$ and $\text{MnCl}_2-\text{CoCl}_2$ mixts. was detd. as a function of temp. ($T = 1033\text{-}1260$ and $1067\text{-}1333$ K, resp.) by the b.p. method within the isobaric variant. The exptl. results obey the relation $\log P = -(A/T) + B$ and the consts. A and B are given. The activity coeffs. in both systems were also calcd.

(P)

C.A. 1980, 93, N14

Pd₁₂Mn₄Ge₈

1981

ЗБ630. Изучение нового тройного германида Pd₁₂-Mn₄Ge₈ со структурой родственной типам Fe₂P, Co₂P и Fe₂As. Venturini G., Malaman B., Steinmetz J., Roques B. Etude d'un nouveau germanium de la série Pd_{~12}Mn_{~4}Ge₈, de structure appartenue aux types Fe₂P, Co₂P et Fe₂As. «Mater. Res. Bull.», 1981, 16, № 6, 715—722 (франц.; рез. англ.)

Методом хим. транспорта (агент SiCl₄) получены кристаллы состава Pd_{10,8}Mn_{5,2}Ge₈ (I) с ромбич. решеткой, *a* 6,910, *b* 3,146, *c* 16,504 Å, *Z*=1, ф. гр. *Rht-a*, определена их структура (дифрактометр, *R*=0,084 по 1027 рефлексам в изотропном приближении), приведены значения *d*(*hkl*). На распределение катионов влияют размер ионов и их электроотрицательность: атомы Pd в двух позициях координированы атомами Ge по тетраэдру, а атомы Mn и статистич. распределенные по однай позиции Mn, Pd занимают тетрагон. пирамиды.

Х. 1982, 19, № 3.

Расстояния в тетраэдрах Pd—Ge 2,518—2,591 Å, в Мп-пирамидах 2,693—3,077 Å. Фаза $Pd_{12-x}Mn_{4+x}Ge_8$ существует при $0,5 < x < 3$ и при т-рах T_c 314—385 К (зависят от x) претерпевает магнитный фазовый переход. Отмечена тесная связь структур I, Fe₂P, Co₂P и Fe₂As.

Б. А. Ефремов

рукт
тав

Pb₃Mn₇O₁₅

1984

7 Б2043. Pb₃Mn₇O₁₅: дальнейшее изменение пространственной группы опубликованной кристаллической структуры. Pb₃Mn₇O₁₅: a further change in the space group of a published crystal structure. Le Page B. Y., Calvert L. D. «Acta crystalogr.», 1984, C40, № 11, 1787—1789 (англ.)

Установлено, что крист. структура Pb₃Mn₇O₁₅ (**I**), описанная ранее в ф. гр. *Cmc2* и *Cmcm* (Marsh R. E., Herbst-
sten H., «Acta crystallogr.», 1983, B39, 280; Darret B., Devallte M., Latourrette B., «Acta crystallogr.», 1978, B34, 3528), имеет гексагон. симметрию решетки с па-
раметрами *a* 9,98, *c* 13,55 Å, *Z* 4, ф. гр. *Pb₃/mcm*. Уточне-
ние структуры **I**, выполненное исходя из данных 2-й из
цитируемых работ в анизотропном приближении по 274
ненулевым отражениям дало *R* 0,031. Параметры
гексагон. решетки **I** связаны с параметрами исходной
ромбич. матрицей перехода [1/2; 1/2; 0/010/001].

М. Б. Варфоломеев

Кристал.
Структура

X. 1985, 19, № 7

MnCl₂-PbCl₂

(Om. 21624) 1985

103: 28207s Thermodynamic properties of manganese dichloride-lead dichloride melts. Burylev, B. P. (Kubansk. Gos. Univ., Krasnodar, USSR). *Izv. Vyssh. Uchebn. Zaved., Khim. Khim. Tekhnol.* 1985, 28(4), 46-9 (Russ). Vapor pressures of the system were measured and normal b.ps. and heats of evapn. were calcd. A method of calcg. thermodn. properties is suggested.

measured.

CB - BA

C.A. 1985, 103, N.Y.

(MnCl₂-PbCl₂)_(K)

1986

Поречек Т. Б., Бурбайко
Н. Б.

Нарк. физ. Журн. - 1986,
т. 60, брн. 9, - с. 2142-2145.

Библиогр.: 542 зб.

(см. MnCl₂; ?)

1986

Рустамов П. Г., Абилов Ч. И., Агдамская С. Г.

Свойства сплавов системы $PbTe-MnTe_2$

Синтез //Изв. АН СССР. Неорган. материалы.— 1986.— Т. 22,
№ 2. — С. 228—230.

Библиогр.: 6 назв.

— — 1. Свинец, теллуриды — Исследование в системах. 2. Марганец, теллуриды — Исследование в системах.

№ 44682

14 № 3325

ВКП 18.04.86

Изд-во «Книга»

УДК 546(819.24+711.24)

ЕСКЛ 18.5

PbSnMnTe [Om. 24589] 1986

Story T., Leonard A.,
et al.,

Ep; Acta phys. pol., 1986,
магнетике A69, № 6, 1005-1009.
Сб-ка

$\text{PbMn}_8\text{O}_{16}$

1989

Biovaroli R.,
Faller M.

полеглие, Chisinau 1989. 43,
спирокиты. №3. л. 54-56.

(см. $\text{Kz Mn}_8\text{O}_{16}$; I)